

مدل سازی رفتار چرخه‌یی سازه‌ها با در نظر گرفتن اثرات باریک‌شدگی، کاهش سختی، کاهش مقاومت و لغزش

مهران زینلیان* (استادیار)

مهدی مختاری (دانشجوی کارشناسی ارشد)

حسین تاجمیریاحی (استادیار)

گروه مهندسی عمران، دانشگاه اصفهان

مهندسی عمران شریف، زمستان ۱۳۹۵ (۷۳-۶۳)
دوره ۲-۳۲، شماره ۴/۲، ص ۶۳-۷۳

شناخت و بررسی دقیق عملکرد چرخه‌یی سازه‌ها و توسعه‌ی مدل‌های تحلیلی پارامتری آن می‌تواند در پیش‌بینی و تخمین عملکرد و طراحی سازه‌ها کاربرد زیادی داشته باشد. در این نوشتار به معرفی و توسعه‌ی یک مدل ریاضی چرخه‌یی بر مبنای معادلات دیفرانسیل با مشتقات جزئی شامل تمامی اثرات کاهندگی از قبیل باریک‌شدگی، کاهش سختی، کاهش مقاومت، و لغزش پرداخته شده است. مدل ارائه شده براساس مدل توسعه داده شده دکتر مستقل است؛ که برای انواع سیستم‌های چند درجه آزادی - چند خطی و با در نظر گرفتن هر یک از اثرات کاهندگی مذکور تحت تحریک‌های دینامیکی بررسی و توسعه داده شده است. در مدل ذکر شده، مشخصات اصلی سیکل‌های چرخه‌یی با استفاده از پارامترهای قابل اندازه‌گیری سیستم سازه‌یی از طریق آزمایش قابل محاسبه است. به منظور نشان دادن توصیف واقعی عملکرد سیستم‌های چند درجه آزادی از طریق مدل پیشنهادی، مثال‌هایی تحت اثر بارهای هارمونیک بیان شده است.

واژگان کلیدی: رفتار چرخه‌یی، مدل تحلیلی، باریک‌شدگی، کاهش سختی، کاهش مقاومت، لغزش.

m.zeinalian@eng.ui.ac.ir
m.mokhtari.civil@gmail.com
tajmir@eng.ui.ac.ir

۱. مقدمه

سطوح مختلف خطر لرزه‌خیزی است. با توجه به نیاز اساسی در ارزیابی جامع عملکرد سازه به هنگام زلزله، ضرورت توسعه‌ی مدل‌های چرخه‌یی شامل تمامی پدیده‌های کاهندگی مؤثر در رفتار چرخه‌یی، جهت پیش‌بینی تقاضای سازه هنگام خرابی اهمیت ویژه‌یی دارد. در مهندسی زلزله، خرابی هنگامی رخ می‌دهد که سیستم سازه‌یی دیگر قادر به تحمل بارهای ثقلی در حضور اثرات لرزه‌یی نباشد، که این خرابی می‌تواند در مدت زلزله‌ی اصلی و یا طی پس‌لرزه‌ها اتفاق افتد. اگر یک عضو باربر عمودی مانند ستون در اثر فشار گسیخته شود، و با چنانچه انتقال برش بین اعضاء افقی و عمودی به درستی صورت نپذیرد، به‌عنوان مثال شکست برشی بین یک دال مسطح و یک ستون اتفاق افتد، در این صورت ممکن است سازه دچار خرابی‌های موضعی شود. حال اگر این‌گونه خرابی‌های موضعی گسترش یابند (اصطلاحاً خرابی‌های پیش‌رونده)، سازه دچار خرابی کلی می‌شود. بنابراین، مطالعه و ارزیابی خرابی سازه نیازمند مدل‌های چرخه‌یی با در نظر گرفتن اثرات مهم کاهندگی در رفتار چرخه‌یی است، همان‌گونه که این اثرات در اغلب مطالعات آزمایشگاهی مشاهده می‌شود.^[۱]

رفتار چرخه‌یی از خواص مهم انواع سیستم‌های سازه‌یی است، که نشان‌دهنده‌ی میزان انرژی اتلاف‌شده‌ی سازه به هنگام زلزله است. این رفتار در ابتدا تا لحظه‌ی تسلیم معمولاً به‌صورت کشسان است و سپس دچار تغییرشکل‌های خمیری می‌شود. لذا رفتار چرخه‌یی خاصیتی غیرخطی از سازه است، که به واسطه‌ی تغییرشکل‌های غیرارتجاعی به‌وجود می‌آید. چنانچه رفتار چرخه‌یی به‌صورت خطی در نظر گرفته شود، به جهت حذف بخش قابل توجهی از ظرفیت سازه به‌منظور استهلاک انرژی، این امر سبب طراحی‌های غیراقتصادی و غیرمحافظة‌کارانه‌یی خواهد شد. به همین منظور مهندس سازه باید اثر غیرخطی رفتار چرخه‌یی سیستم‌های سازه‌یی را در طراحی‌ها مورد توجه قرار دهد. در اثر تغییر خواص اعضاء سازه ناشی از تغییر خصوصیات مصالح و هندسه‌ی اعضا مانند کماتش مهاربندها در اعضاء فولادی، باز و بسته‌شدن متناوب ترک‌ها در اعضاء بتن مسلح، و لغزش در اتصالات اعضاء سازه‌ی سرد نوردشده‌ی فولادی، رفتار چرخه‌یی نمایان می‌شود.^[۱]

هدف اصلی مهندسی زلزله، بررسی عملکرد لرزه‌یی سیستم‌های سازه‌یی در

* نویسنده مسئول

تاریخ دریافت: ۱۳۹۳/۱۰/۷، اصلاحیه ۱۳۹۴/۳/۱۲، پذیرش ۱۳۹۴/۴/۱

برخی سیستم‌های سازه‌یی شامل مدل‌های باک ۱ - ۲، ۲، ۳، ۴، ۵، ۶، ۷، ۸، ۹، ۱۰، ۱۱، ۱۲، ۱۳، ۱۴، ۱۵، ۱۶، ۱۷، ۱۸، ۱۹، ۲۰، ۲۱، ۲۲، ۲۳، ۲۴، ۲۵، ۲۶، ۲۷، ۲۸، ۲۹، ۳۰، ۳۱، ۳۲، ۳۳، ۳۴، ۳۵، ۳۶، ۳۷، ۳۸، ۳۹، ۴۰، ۴۱، ۴۲، ۴۳، ۴۴، ۴۵، ۴۶، ۴۷، ۴۸، ۴۹، ۵۰، ۵۱، ۵۲، ۵۳، ۵۴، ۵۵، ۵۶، ۵۷، ۵۸، ۵۹، ۶۰، ۶۱، ۶۲، ۶۳، ۶۴، ۶۵، ۶۶، ۶۷، ۶۸، ۶۹، ۷۰، ۷۱، ۷۲، ۷۳، ۷۴، ۷۵، ۷۶، ۷۷، ۷۸، ۷۹، ۸۰، ۸۱، ۸۲، ۸۳، ۸۴، ۸۵، ۸۶، ۸۷، ۸۸، ۸۹، ۹۰، ۹۱، ۹۲، ۹۳، ۹۴، ۹۵، ۹۶، ۹۷، ۹۸، ۹۹، ۱۰۰، ۱۰۱، ۱۰۲، ۱۰۳، ۱۰۴، ۱۰۵، ۱۰۶، ۱۰۷، ۱۰۸، ۱۰۹، ۱۱۰، ۱۱۱، ۱۱۲، ۱۱۳، ۱۱۴، ۱۱۵، ۱۱۶، ۱۱۷، ۱۱۸، ۱۱۹، ۱۲۰، ۱۲۱، ۱۲۲، ۱۲۳، ۱۲۴، ۱۲۵، ۱۲۶، ۱۲۷، ۱۲۸، ۱۲۹، ۱۳۰، ۱۳۱، ۱۳۲، ۱۳۳، ۱۳۴، ۱۳۵، ۱۳۶، ۱۳۷، ۱۳۸، ۱۳۹، ۱۴۰، ۱۴۱، ۱۴۲، ۱۴۳، ۱۴۴، ۱۴۵، ۱۴۶، ۱۴۷، ۱۴۸، ۱۴۹، ۱۵۰، ۱۵۱، ۱۵۲، ۱۵۳، ۱۵۴، ۱۵۵، ۱۵۶، ۱۵۷، ۱۵۸، ۱۵۹، ۱۶۰، ۱۶۱، ۱۶۲، ۱۶۳، ۱۶۴، ۱۶۵، ۱۶۶، ۱۶۷، ۱۶۸، ۱۶۹، ۱۷۰، ۱۷۱، ۱۷۲، ۱۷۳، ۱۷۴، ۱۷۵، ۱۷۶، ۱۷۷، ۱۷۸، ۱۷۹، ۱۸۰، ۱۸۱، ۱۸۲، ۱۸۳، ۱۸۴، ۱۸۵، ۱۸۶، ۱۸۷، ۱۸۸، ۱۸۹، ۱۹۰، ۱۹۱، ۱۹۲، ۱۹۳، ۱۹۴، ۱۹۵، ۱۹۶، ۱۹۷، ۱۹۸، ۱۹۹، ۲۰۰، ۲۰۱، ۲۰۲، ۲۰۳، ۲۰۴، ۲۰۵، ۲۰۶، ۲۰۷، ۲۰۸، ۲۰۹، ۲۱۰، ۲۱۱، ۲۱۲، ۲۱۳، ۲۱۴، ۲۱۵، ۲۱۶، ۲۱۷، ۲۱۸، ۲۱۹، ۲۲۰، ۲۲۱، ۲۲۲، ۲۲۳، ۲۲۴، ۲۲۵، ۲۲۶، ۲۲۷، ۲۲۸، ۲۲۹، ۲۳۰، ۲۳۱، ۲۳۲، ۲۳۳، ۲۳۴، ۲۳۵، ۲۳۶، ۲۳۷، ۲۳۸، ۲۳۹، ۲۴۰، ۲۴۱، ۲۴۲، ۲۴۳، ۲۴۴، ۲۴۵، ۲۴۶، ۲۴۷، ۲۴۸، ۲۴۹، ۲۵۰، ۲۵۱، ۲۵۲، ۲۵۳، ۲۵۴، ۲۵۵، ۲۵۶، ۲۵۷، ۲۵۸، ۲۵۹، ۲۶۰، ۲۶۱، ۲۶۲، ۲۶۳، ۲۶۴، ۲۶۵، ۲۶۶، ۲۶۷، ۲۶۸، ۲۶۹، ۲۷۰، ۲۷۱، ۲۷۲، ۲۷۳، ۲۷۴، ۲۷۵، ۲۷۶، ۲۷۷، ۲۷۸، ۲۷۹، ۲۸۰، ۲۸۱، ۲۸۲، ۲۸۳، ۲۸۴، ۲۸۵، ۲۸۶، ۲۸۷، ۲۸۸، ۲۸۹، ۲۹۰، ۲۹۱، ۲۹۲، ۲۹۳، ۲۹۴، ۲۹۵، ۲۹۶، ۲۹۷، ۲۹۸، ۲۹۹، ۳۰۰، ۳۰۱، ۳۰۲، ۳۰۳، ۳۰۴، ۳۰۵، ۳۰۶، ۳۰۷، ۳۰۸، ۳۰۹، ۳۱۰، ۳۱۱، ۳۱۲، ۳۱۳، ۳۱۴، ۳۱۵، ۳۱۶، ۳۱۷، ۳۱۸، ۳۱۹، ۳۲۰، ۳۲۱، ۳۲۲، ۳۲۳، ۳۲۴، ۳۲۵، ۳۲۶، ۳۲۷، ۳۲۸، ۳۲۹، ۳۳۰، ۳۳۱، ۳۳۲، ۳۳۳، ۳۳۴، ۳۳۵، ۳۳۶، ۳۳۷، ۳۳۸، ۳۳۹، ۳۴۰، ۳۴۱، ۳۴۲، ۳۴۳، ۳۴۴، ۳۴۵، ۳۴۶، ۳۴۷، ۳۴۸، ۳۴۹، ۳۵۰، ۳۵۱، ۳۵۲، ۳۵۳، ۳۵۴، ۳۵۵، ۳۵۶، ۳۵۷، ۳۵۸، ۳۵۹، ۳۶۰، ۳۶۱، ۳۶۲، ۳۶۳، ۳۶۴، ۳۶۵، ۳۶۶، ۳۶۷، ۳۶۸، ۳۶۹، ۳۷۰، ۳۷۱، ۳۷۲، ۳۷۳، ۳۷۴، ۳۷۵، ۳۷۶، ۳۷۷، ۳۷۸، ۳۷۹، ۳۸۰، ۳۸۱، ۳۸۲، ۳۸۳، ۳۸۴، ۳۸۵، ۳۸۶، ۳۸۷، ۳۸۸، ۳۸۹، ۳۹۰، ۳۹۱، ۳۹۲، ۳۹۳، ۳۹۴، ۳۹۵، ۳۹۶، ۳۹۷، ۳۹۸، ۳۹۹، ۴۰۰، ۴۰۱، ۴۰۲، ۴۰۳، ۴۰۴، ۴۰۵، ۴۰۶، ۴۰۷، ۴۰۸، ۴۰۹، ۴۱۰، ۴۱۱، ۴۱۲، ۴۱۳، ۴۱۴، ۴۱۵، ۴۱۶، ۴۱۷، ۴۱۸، ۴۱۹، ۴۲۰، ۴۲۱، ۴۲۲، ۴۲۳، ۴۲۴، ۴۲۵، ۴۲۶، ۴۲۷، ۴۲۸، ۴۲۹، ۴۳۰، ۴۳۱، ۴۳۲، ۴۳۳، ۴۳۴، ۴۳۵، ۴۳۶، ۴۳۷، ۴۳۸، ۴۳۹، ۴۴۰، ۴۴۱، ۴۴۲، ۴۴۳، ۴۴۴، ۴۴۵، ۴۴۶، ۴۴۷، ۴۴۸، ۴۴۹، ۴۵۰، ۴۵۱، ۴۵۲، ۴۵۳، ۴۵۴، ۴۵۵، ۴۵۶، ۴۵۷، ۴۵۸، ۴۵۹، ۴۶۰، ۴۶۱، ۴۶۲، ۴۶۳، ۴۶۴، ۴۶۵، ۴۶۶، ۴۶۷، ۴۶۸، ۴۶۹، ۴۷۰، ۴۷۱، ۴۷۲، ۴۷۳، ۴۷۴، ۴۷۵، ۴۷۶، ۴۷۷، ۴۷۸، ۴۷۹، ۴۸۰، ۴۸۱، ۴۸۲، ۴۸۳، ۴۸۴، ۴۸۵، ۴۸۶، ۴۸۷، ۴۸۸، ۴۸۹، ۴۹۰، ۴۹۱، ۴۹۲، ۴۹۳، ۴۹۴، ۴۹۵، ۴۹۶، ۴۹۷، ۴۹۸، ۴۹۹، ۵۰۰، ۵۰۱، ۵۰۲، ۵۰۳، ۵۰۴، ۵۰۵، ۵۰۶، ۵۰۷، ۵۰۸، ۵۰۹، ۵۱۰، ۵۱۱، ۵۱۲، ۵۱۳، ۵۱۴، ۵۱۵، ۵۱۶، ۵۱۷، ۵۱۸، ۵۱۹، ۵۲۰، ۵۲۱، ۵۲۲، ۵۲۳، ۵۲۴، ۵۲۵، ۵۲۶، ۵۲۷، ۵۲۸، ۵۲۹، ۵۳۰، ۵۳۱، ۵۳۲، ۵۳۳، ۵۳۴، ۵۳۵، ۵۳۶، ۵۳۷، ۵۳۸، ۵۳۹، ۵۴۰، ۵۴۱، ۵۴۲، ۵۴۳، ۵۴۴، ۵۴۵، ۵۴۶، ۵۴۷، ۵۴۸، ۵۴۹، ۵۵۰، ۵۵۱، ۵۵۲، ۵۵۳، ۵۵۴، ۵۵۵، ۵۵۶، ۵۵۷، ۵۵۸، ۵۵۹، ۵۶۰، ۵۶۱، ۵۶۲، ۵۶۳، ۵۶۴، ۵۶۵، ۵۶۶، ۵۶۷، ۵۶۸، ۵۶۹، ۵۷۰، ۵۷۱، ۵۷۲، ۵۷۳، ۵۷۴، ۵۷۵، ۵۷۶، ۵۷۷، ۵۷۸، ۵۷۹، ۵۸۰، ۵۸۱، ۵۸۲، ۵۸۳، ۵۸۴، ۵۸۵، ۵۸۶، ۵۸۷، ۵۸۸، ۵۸۹، ۵۹۰، ۵۹۱، ۵۹۲، ۵۹۳، ۵۹۴، ۵۹۵، ۵۹۶، ۵۹۷، ۵۹۸، ۵۹۹، ۶۰۰، ۶۰۱، ۶۰۲، ۶۰۳، ۶۰۴، ۶۰۵، ۶۰۶، ۶۰۷، ۶۰۸، ۶۰۹، ۶۱۰، ۶۱۱، ۶۱۲، ۶۱۳، ۶۱۴، ۶۱۵، ۶۱۶، ۶۱۷، ۶۱۸، ۶۱۹، ۶۲۰، ۶۲۱، ۶۲۲، ۶۲۳، ۶۲۴، ۶۲۵، ۶۲۶، ۶۲۷، ۶۲۸، ۶۲۹، ۶۳۰، ۶۳۱، ۶۳۲، ۶۳۳، ۶۳۴، ۶۳۵، ۶۳۶، ۶۳۷، ۶۳۸، ۶۳۹، ۶۴۰، ۶۴۱، ۶۴۲، ۶۴۳، ۶۴۴، ۶۴۵، ۶۴۶، ۶۴۷، ۶۴۸، ۶۴۹، ۶۵۰، ۶۵۱، ۶۵۲، ۶۵۳، ۶۵۴، ۶۵۵، ۶۵۶، ۶۵۷، ۶۵۸، ۶۵۹، ۶۶۰، ۶۶۱، ۶۶۲، ۶۶۳، ۶۶۴، ۶۶۵، ۶۶۶، ۶۶۷، ۶۶۸، ۶۶۹، ۶۷۰، ۶۷۱، ۶۷۲، ۶۷۳، ۶۷۴، ۶۷۵، ۶۷۶، ۶۷۷، ۶۷۸، ۶۷۹، ۶۸۰، ۶۸۱، ۶۸۲، ۶۸۳، ۶۸۴، ۶۸۵، ۶۸۶، ۶۸۷، ۶۸۸، ۶۸۹، ۶۹۰، ۶۹۱، ۶۹۲، ۶۹۳، ۶۹۴، ۶۹۵، ۶۹۶، ۶۹۷، ۶۹۸، ۶۹۹، ۷۰۰، ۷۰۱، ۷۰۲، ۷۰۳، ۷۰۴، ۷۰۵، ۷۰۶، ۷۰۷، ۷۰۸، ۷۰۹، ۷۱۰، ۷۱۱، ۷۱۲، ۷۱۳، ۷۱۴، ۷۱۵، ۷۱۶، ۷۱۷، ۷۱۸، ۷۱۹، ۷۲۰، ۷۲۱، ۷۲۲، ۷۲۳، ۷۲۴، ۷۲۵، ۷۲۶، ۷۲۷، ۷۲۸، ۷۲۹، ۷۳۰، ۷۳۱، ۷۳۲، ۷۳۳، ۷۳۴، ۷۳۵، ۷۳۶، ۷۳۷، ۷۳۸، ۷۳۹، ۷۴۰، ۷۴۱، ۷۴۲، ۷۴۳، ۷۴۴، ۷۴۵، ۷۴۶، ۷۴۷، ۷۴۸، ۷۴۹، ۷۵۰، ۷۵۱، ۷۵۲، ۷۵۳، ۷۵۴، ۷۵۵، ۷۵۶، ۷۵۷، ۷۵۸، ۷۵۹، ۷۶۰، ۷۶۱، ۷۶۲، ۷۶۳، ۷۶۴، ۷۶۵، ۷۶۶، ۷۶۷، ۷۶۸، ۷۶۹، ۷۷۰، ۷۷۱، ۷۷۲، ۷۷۳، ۷۷۴، ۷۷۵، ۷۷۶، ۷۷۷، ۷۷۸، ۷۷۹، ۷۸۰، ۷۸۱، ۷۸۲، ۷۸۳، ۷۸۴، ۷۸۵، ۷۸۶، ۷۸۷، ۷۸۸، ۷۸۹، ۷۹۰، ۷۹۱، ۷۹۲، ۷۹۳، ۷۹۴، ۷۹۵، ۷۹۶، ۷۹۷، ۷۹۸، ۷۹۹، ۸۰۰، ۸۰۱، ۸۰۲، ۸۰۳، ۸۰۴، ۸۰۵، ۸۰۶، ۸۰۷، ۸۰۸، ۸۰۹، ۸۱۰، ۸۱۱، ۸۱۲، ۸۱۳، ۸۱۴، ۸۱۵، ۸۱۶، ۸۱۷، ۸۱۸، ۸۱۹، ۸۲۰، ۸۲۱، ۸۲۲، ۸۲۳، ۸۲۴، ۸۲۵، ۸۲۶، ۸۲۷، ۸۲۸، ۸۲۹، ۸۳۰، ۸۳۱، ۸۳۲، ۸۳۳، ۸۳۴، ۸۳۵، ۸۳۶، ۸۳۷، ۸۳۸، ۸۳۹، ۸۴۰، ۸۴۱، ۸۴۲، ۸۴۳، ۸۴۴، ۸۴۵، ۸۴۶، ۸۴۷، ۸۴۸، ۸۴۹، ۸۵۰، ۸۵۱، ۸۵۲، ۸۵۳، ۸۵۴، ۸۵۵، ۸۵۶، ۸۵۷، ۸۵۸، ۸۵۹، ۸۶۰، ۸۶۱، ۸۶۲، ۸۶۳، ۸۶۴، ۸۶۵، ۸۶۶، ۸۶۷، ۸۶۸، ۸۶۹، ۸۷۰، ۸۷۱، ۸۷۲، ۸۷۳، ۸۷۴، ۸۷۵، ۸۷۶، ۸۷۷، ۸۷۸، ۸۷۹، ۸۸۰، ۸۸۱، ۸۸۲، ۸۸۳، ۸۸۴، ۸۸۵، ۸۸۶، ۸۸۷، ۸۸۸، ۸۸۹، ۸۹۰، ۸۹۱، ۸۹۲، ۸۹۳، ۸۹۴، ۸۹۵، ۸۹۶، ۸۹۷، ۸۹۸، ۸۹۹، ۹۰۰، ۹۰۱، ۹۰۲، ۹۰۳، ۹۰۴، ۹۰۵، ۹۰۶، ۹۰۷، ۹۰۸، ۹۰۹، ۹۱۰، ۹۱۱، ۹۱۲، ۹۱۳، ۹۱۴، ۹۱۵، ۹۱۶، ۹۱۷، ۹۱۸، ۹۱۹، ۹۲۰، ۹۲۱، ۹۲۲، ۹۲۳، ۹۲۴، ۹۲۵، ۹۲۶، ۹۲۷، ۹۲۸، ۹۲۹، ۹۳۰، ۹۳۱، ۹۳۲، ۹۳۳، ۹۳۴، ۹۳۵، ۹۳۶، ۹۳۷، ۹۳۸، ۹۳۹، ۹۴۰، ۹۴۱، ۹۴۲، ۹۴۳، ۹۴۴، ۹۴۵، ۹۴۶، ۹۴۷، ۹۴۸، ۹۴۹، ۹۵۰، ۹۵۱، ۹۵۲، ۹۵۳، ۹۵۴، ۹۵۵، ۹۵۶، ۹۵۷، ۹۵۸، ۹۵۹، ۹۶۰، ۹۶۱، ۹۶۲، ۹۶۳، ۹۶۴، ۹۶۵، ۹۶۶، ۹۶۷، ۹۶۸، ۹۶۹، ۹۷۰، ۹۷۱، ۹۷۲، ۹۷۳، ۹۷۴، ۹۷۵، ۹۷۶، ۹۷۷، ۹۷۸، ۹۷۹، ۹۸۰، ۹۸۱، ۹۸۲، ۹۸۳، ۹۸۴، ۹۸۵، ۹۸۶، ۹۸۷، ۹۸۸، ۹۸۹، ۹۹۰، ۹۹۱، ۹۹۲، ۹۹۳، ۹۹۴، ۹۹۵، ۹۹۶، ۹۹۷، ۹۹۸، ۹۹۹، ۱۰۰۰، ۱۰۰۱، ۱۰۰۲، ۱۰۰۳، ۱۰۰۴، ۱۰۰۵، ۱۰۰۶، ۱۰۰۷، ۱۰۰۸، ۱۰۰۹، ۱۰۱۰، ۱۰۱۱، ۱۰۱۲، ۱۰۱۳، ۱۰۱۴، ۱۰۱۵، ۱۰۱۶، ۱۰۱۷، ۱۰۱۸، ۱۰۱۹، ۱۰۲۰، ۱۰۲۱، ۱۰۲۲، ۱۰۲۳، ۱۰۲۴، ۱۰۲۵، ۱۰۲۶، ۱۰۲۷، ۱۰۲۸، ۱۰۲۹، ۱۰۳۰، ۱۰۳۱، ۱۰۳۲، ۱۰۳۳، ۱۰۳۴، ۱۰۳۵، ۱۰۳۶، ۱۰۳۷، ۱۰۳۸، ۱۰۳۹، ۱۰۴۰، ۱۰۴۱، ۱۰۴۲، ۱۰۴۳، ۱۰۴۴، ۱۰۴۵، ۱۰۴۶، ۱۰۴۷، ۱۰۴۸، ۱۰۴۹، ۱۰۵۰، ۱۰۵۱، ۱۰۵۲، ۱۰۵۳، ۱۰۵۴، ۱۰۵۵، ۱۰۵۶، ۱۰۵۷، ۱۰۵۸، ۱۰۵۹، ۱۰۶۰، ۱۰۶۱، ۱۰۶۲، ۱۰۶۳، ۱۰۶۴، ۱۰۶۵، ۱۰۶۶، ۱۰۶۷، ۱۰۶۸، ۱۰۶۹، ۱۰۷۰، ۱۰۷۱، ۱۰۷۲، ۱۰۷۳، ۱۰۷۴، ۱۰۷۵، ۱۰۷۶، ۱۰۷۷، ۱۰۷۸، ۱۰۷۹، ۱۰۸۰، ۱۰۸۱، ۱۰۸۲، ۱۰۸۳، ۱۰۸۴، ۱۰۸۵، ۱۰۸۶، ۱۰۸۷، ۱۰۸۸، ۱۰۸۹، ۱۰۹۰، ۱۰۹۱، ۱۰۹۲، ۱۰۹۳، ۱۰۹۴، ۱۰۹۵، ۱۰۹۶، ۱۰۹۷، ۱۰۹۸، ۱۰۹۹، ۱۱۰۰، ۱۱۰۱، ۱۱۰۲، ۱۱۰۳، ۱۱۰۴، ۱۱۰۵، ۱۱۰۶، ۱۱۰۷، ۱۱۰۸، ۱۱۰۹، ۱۱۱۰، ۱۱۱۱، ۱۱۱۲، ۱۱۱۳، ۱۱۱۴، ۱۱۱۵، ۱۱۱۶، ۱۱۱۷، ۱۱۱۸، ۱۱۱۹، ۱۱۲۰، ۱۱۲۱، ۱۱۲۲، ۱۱۲۳، ۱۱۲۴، ۱۱۲۵، ۱۱۲۶، ۱۱۲۷، ۱۱۲۸، ۱۱۲۹، ۱۱۳۰، ۱۱۳۱، ۱۱۳۲، ۱۱۳۳، ۱۱۳۴، ۱۱۳۵، ۱۱۳۶، ۱۱۳۷، ۱۱۳۸، ۱۱۳۹، ۱۱۴۰، ۱۱۴۱، ۱۱۴۲، ۱۱۴۳، ۱۱۴۴، ۱۱۴۵، ۱۱۴۶، ۱۱۴۷، ۱۱۴۸، ۱۱۴۹، ۱۱۵۰، ۱۱۵۱، ۱۱۵۲، ۱۱۵۳، ۱۱۵۴، ۱۱۵۵، ۱۱۵۶، ۱۱۵۷، ۱۱۵۸، ۱۱۵۹، ۱۱۶۰، ۱۱۶۱، ۱۱۶۲، ۱۱۶۳، ۱۱۶۴، ۱۱۶۵، ۱۱۶۶، ۱۱۶۷، ۱۱۶۸، ۱۱۶۹، ۱۱۷۰، ۱۱۷۱، ۱۱۷۲، ۱۱۷۳، ۱۱۷۴، ۱۱۷۵، ۱۱۷۶، ۱۱۷۷، ۱۱۷۸، ۱۱۷۹، ۱۱۸۰، ۱۱۸۱، ۱۱۸۲، ۱۱۸۳، ۱۱۸۴، ۱۱۸۵، ۱۱۸۶، ۱۱۸۷، ۱۱۸۸، ۱۱۸۹، ۱۱۹۰، ۱۱۹۱، ۱۱۹۲، ۱۱۹۳، ۱۱۹۴، ۱۱۹۵، ۱۱۹۶، ۱۱۹۷، ۱۱۹۸، ۱۱۹۹، ۱۲۰۰، ۱۲۰۱، ۱۲۰۲، ۱۲۰۳، ۱۲۰۴، ۱۲۰۵، ۱۲۰۶، ۱۲۰۷، ۱۲۰۸، ۱۲۰۹، ۱۲۱۰، ۱۲۱۱، ۱۲۱۲، ۱۲۱۳، ۱۲۱۴، ۱۲۱۵، ۱۲۱۶، ۱۲۱۷، ۱۲۱۸، ۱۲۱۹، ۱۲۲۰، ۱۲۲۱، ۱۲۲۲، ۱۲۲۳، ۱۲۲۴، ۱۲۲۵، ۱۲۲۶، ۱۲۲۷، ۱۲۲۸، ۱۲۲۹، ۱۲۳۰، ۱۲۳۱، ۱۲۳۲، ۱۲۳۳، ۱۲۳۴، ۱۲۳۵، ۱۲۳۶، ۱۲۳۷، ۱۲۳۸، ۱۲۳۹، ۱۲۴۰، ۱۲۴۱، ۱۲۴۲، ۱۲۴۳، ۱۲۴۴، ۱۲۴۵، ۱۲۴۶، ۱۲۴۷، ۱۲۴۸، ۱۲۴۹، ۱۲۵۰، ۱۲۵۱، ۱۲۵۲، ۱۲۵۳، ۱۲۵۴، ۱۲۵۵، ۱۲۵۶، ۱۲۵۷، ۱۲۵۸، ۱۲۵۹، ۱۲۶۰، ۱۲۶۱، ۱۲۶۲، ۱۲۶۳، ۱۲۶۴، ۱۲۶۵، ۱۲۶۶، ۱۲۶۷، ۱۲۶۸، ۱۲۶۹، ۱۲۷۰، ۱۲۷۱، ۱

غیرخطی آن‌ها مورد بررسی و ارزیابی قرار داده‌اند. همچنین در مطالعات انجام شده، سازه رفتار چرخشی کشسان - خمیری و یا رفتار چرخه‌بی دو خطی دارد.^[۳] بسیاری از اعضای سازه‌بی به‌هنگام بارگذاری چرخه‌بی ممکن است در معرض پدیده‌های کاهندگی مختلفی از قبیل: باریک‌شدگی، کاهندگی سختی، کاهندگی مقاومت، لغزش و یا ترکیبی از این اثرات قرار گیرند. این موضوع خصوصاً برای اعضای سازه‌های بتن مسلح در معرض بارگذاری‌های چرخه‌بی مشهود است. به‌عنوان مثال، کاهندگی می‌تواند ناشی از ترک‌خوردگی، خردشدگی، کم‌اندامش میلگرد، باز و بسته شدن ترک‌ها، اصطکاک بین اجزا و واکنش‌های با تنش‌های برشی و محوری بالا باشد. میزان کاهندگی، از یک سو به مشخصات اعضای سازه‌بی از قبیل: خواص مواد، هندسه‌ی اعضا، و نوع و مشخصات اتصالات، و از سوی دیگر، به تاریخچه‌ی بارگذاری شامل: شدت بارگذاری در هر سیکل، تعداد سیکل‌ها، و تناوب سیکل‌های بارگذاری بستگی دارد.

از جمله تلاش‌های اولیه به‌منظور بیان مدل کاهندگی اعضای سازه‌بی در معرض بارگذاری چرخه‌بی در سال ۱۹۵۸ صورت گرفته است؛ که در آن، یک مدل رفتاری برای مطالعه‌ی پاسخ اتصالات به بارگذاری چرخه‌بی پیشنهاد شده است.^[۴] برخی پژوهشگران با توجه به کاهش سختی مشاهده‌شده در اعضای بتنی، یک مدل کاهندگی سختی را توسعه داده‌اند، به طوری که در آن باربرداری با سختی معادل سختی اولیه رخ دهد، اما به‌هنگام بارگذاری مجدد از میزان سختی کاسته شود. آن‌ها از مدل مذکور جهت مطالعه‌ی پاسخ سیستم‌های تک درجه آزادی در معرض ۴ طیف شتاب استفاده کرده‌اند.^[۵] نوع کلی از مدل‌هایی که باریک‌شدگی و کاهندگی سختی داشته‌اند، در سال‌های ۱۹۷۳، ۱۹۷۷ و ۱۹۷۸ توسعه داده شده است.^[۶] مدل مذکور مشابه مدل‌های توسعه‌یافته‌ی پیشین،^[۷،۸] ترکیبی از اجزاء کشسان خطی و لغزش کولومب بوده است.^[۸] در سال ۱۹۷۳ نیز با مطالعه‌ی اثرات کاهندگی سختی در تقاضای شکل‌پذیری دو ساختمان چند طبقه‌ی ایده‌ال، یکی با دوره‌ی تناوب ارتعاش ۰/۵ ثانیه و دیگری با دوره‌ی تناوب ۲ ثانیه، این نتیجه به‌دست آمده است که کاهندگی سختی، اثر ناچیزی در تقاضای شکل‌پذیری ساختمان‌های نرم دارد؛ اما در مقابل، کاهندگی سختی باعث افزایش تقاضای شکل‌پذیری ساختمان‌های سخت می‌شود.^[۹] در سال‌های ۱۹۹۸ و ۱۹۹۹ نیز در مطالعاتی به بررسی اثرات باریک‌شدگی و کاهندگی سختی در سازه‌های تک درجه آزادی و چند درجه آزادی با به‌کارگیری مدل چرخه‌بی توسعه یافته پرداخته شده،^[۱۰،۱۱] و این نتیجه به‌دست آمده است که باریک‌شدگی برای سیستم‌های تک درجه آزادی با دوره‌ی تناوب متوسط و طولانی باعث تشدید نسبتاً کوچک پاسخ جابه‌جایی بدون توجه به مقاومت تسلیم می‌شود. اما برخلاف این موضوع، برای سازه‌های با دوره‌ی تناوب کوتاه، که در معرض تعداد زیادی سیکل چرخه‌بی قرار دارند، تشدید جابه‌جایی به‌طور چشمگیری افزایش می‌یابد. همچنین ملاحظه شده است که اثر رابطه‌ی نیرو - تغییرشکل باریک‌شونده در نسبت جابه‌جایی، حساسیت زیادی به شدت زمین‌لرزه ندارد. برای سازه‌های چند درجه آزادی نیز این نتیجه به‌دست آمده است که باریک‌شدگی در سیستم‌های غیرکشسان، تغییرشکل مشابهی با سیستم‌های تک درجه آزادی دارد. همچنین با بررسی اثر سختی منفی پس‌تسلیم در سیستم‌های تک درجه آزادی و چند درجه آزادی این نتیجه به‌دست آمده است که برای سیستم‌های تک درجه آزادی سختی منفی پس‌تسلیم (که با عنوان اثرات پی - دلتا نیز ذکر می‌شود)، تأثیر بزرگی در تقاضای جابه‌جایی سیستم‌های با مشخصات دو خطی دارد. این اثر با افزایش نسبت سختی منفی (α) ، کاهش مقاومت تسلیم، و کاهش دوره‌ی تناوب ارتعاش سیستم به سرعت افزایش می‌یابد.^[۱۱] براساس طبقه‌بندی کلی مدل‌های توسعه‌یافته‌ی کاهنده و غیرکاهنده،^[۶] یک مدل چرخه‌بی

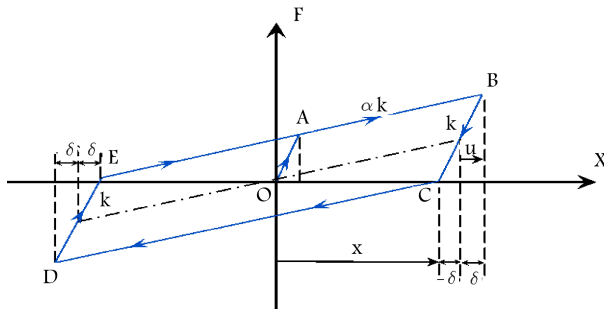
عمومی (۱۹۹۹ و ۲۰۰۰) با استفاده از توصیف تحلیلی (مبتنی بر معادلات دیفرانسیل) مدل‌های مکانیکی متشکل از مجموعه‌ی از فنرهای خطی، میراگرها، و لغزنده‌ها معرفی و توسعه داده شده است. مدل مذکور معرف اثرات باریک‌شدگی، کاهش سختی، و کاهش مقاومت بوده و با استفاده از آن نشان داده شده است که رفتار چرخه‌بی چند خطی می‌تواند از طریق حل $(1 - 2n)$ معادله‌ی دیفرانسیل حاصل شود، که در آن n تعداد بخش‌های خطی موجود در مدل است.^[۱۲] در سال ۲۰۰۴ نیز روندی ساده برای تخمین سریع و منطقی تقاضای لرزه‌بی سیستم‌های چند درجه آزادی پیشنهاد شده و این نتیجه به‌دست آمده است که چنانچه تغییرشکل‌های جانبی از طریق فراهم‌ساختن سختی و مقاومت جانبی کافی و نیز ظرفیت استهلاک انرژی سازه کنترل شود، می‌توان به یک کنترل مناسب خسارت دست یافت.^[۱۳]

همچنین در سال‌های ۲۰۰۰ و ۲۰۰۶، یک مدل چرخه‌بی کاربردی‌تر با در نظر گرفتن بخش‌های منحنی‌وار ملایم ارائه شده است، که به لحاظ مفهومی براساس مدل‌های توسعه‌یافته‌ی کاهنده و غیرکاهنده‌ی اخیر،^[۱۴،۱۵] بوده است.^[۱۴] در سال ۲۰۰۵ نیز اثر رفتار چرخه‌بی در تغییرشکل‌های پیشین‌های سیستم‌های تک درجه آزادی در معرض مجموعه‌ی از ۲۴۰ زمین‌لرزه‌ی ثبت‌شده در کالیفرنیا مورد بررسی قرار گرفته و ۷ نوع رفتار چرخه‌بی مختلف شامل مدل‌های: کشسان - خمیری، دو خطی، اصلاح‌شده‌ی کلاف، تا کدا، origin-oriented، کاهندگی متوسط، و کاهندگی شدید بررسی شده است. مدل‌های اصلاح‌شده‌ی کلاف، تا کدا، و origin-oriented فقط در معرض کاهندگی سختی، و مدل‌های با کاهندگی متوسط و شدید تحت اثر هم‌زمان کاهش سختی و کاهش مقاومت چرخه‌بی قرار گرفته‌اند و این نتیجه به‌دست آمده است که سختی مثبت پس‌تسلیمی اثر نسبتاً اندکی به جز سیستم‌های با دوره‌های تناوب ارتعاش خیلی کوتاه ($T < 0.2 \text{ sec}$) دارد. همچنین مشاهده شده است که اثرات رفتار چرخه‌بی برای سازه‌های با دوره‌ی تناوب ارتعاش بزرگ‌تر از حدوداً ۰/۷ ثانیه و در معرض زمین‌لرزه‌های ثبت‌شده در زمین‌های با بستر خاکی محکم نسبتاً کوچک است.^[۱۵] در مطالعه‌ی دیگری در سال ۲۰۰۵ با بررسی و مقایسه‌ی مدل‌های چرخه‌بی مختلف با نتایج آزمایشگاهی برخی سیستم‌های سازه‌های مختلف، نشان داده شده است که نوع رفتار چرخه‌بی اصولاً زمانی حائز اهمیت است که سازه حالت خرابی کلی خود را حفظ کند و همچنان پایدار بماند.^[۱۶]

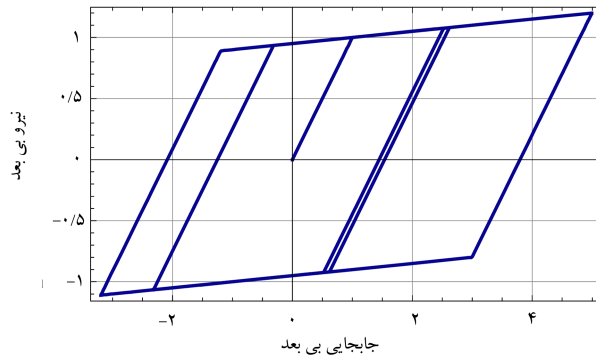
این تذکر لازم است که دکتر مستقل،^[۱۶] و اغلب پژوهشگران اثر لغزش را در مدل خود مطرح نساخته‌اند، اما با توجه به اثر قابل ملاحظه‌ی آن در میزان استهلاک انرژی و عملکرد سازه به‌هنگام اعمال بارهای لرزه‌بی، اثر لغزش باید مورد بررسی قرار گیرد. به این منظور برخی پژوهشگران در سال ۲۰۱۲ مدل دو خطی مستقل را با در نظر گرفتن اثر لغزش توسعه داده و با بررسی مدل دو خطی ایشان به این نتیجه رسیده‌اند که معادلات مطرح‌شده‌ی دکتر مستقل، برخی شرایط مرزی مربوط به حلقه‌ی اولیه‌ی چرخه را ارضا نمی‌کنند؛ لذا یک اصلاح اساسی نیز در مدل دکتر مستقل کرده‌اند.^[۱۶]

۲. معرفی مدل دکتر مستقل

دکتر مستقل (۱۹۹۹)،^[۱] با در نظر گرفتن یک سیستم مکانیکی تک درجه آزادی متشکل از جرم، فنر، و میراگر (شکل ۱)، رفتار دو خطی سیستم مذکور را با استفاده از توابع α و β بیان کرده است. این توابع که به منظور بیان شرایط مرزی حاکم بر یک



شکل ۲. حلقه‌ی چرخه‌یی یک سیستم دو خطی.



شکل ۳. پاسخ یک سیستم چرخه‌یی دو خطی غیرکاهنده.

مطابق شکل ۱، تغییرشکل لغزنده است که از رابطه‌ی ۸ به دست می‌آید:

$$x_s(t) = x(t) - u(t) \quad (۸)$$

معادله‌ی ۶ دو مجهول x و u دارد و جهت حل آن باید معادله‌ی دیگری ارائه شود. برای این منظور، دکتور مستقل با استفاده از روابط ۱ الی ۴ به بررسی شرایط مرزی حاکم بر بخش‌های کشسان و خمیری یک حلقه‌ی چرخه‌یی دو خطی (شکل ۲)، مطابق بندهای ۱ الی ۳ پرداخته است:

۱. سرعت $\dot{x} = \frac{\partial x}{\partial t}$ ، در امتداد مسیرهای OA، DE و EAB مثبت و در امتداد مسیرهای BC و CD منفی است.

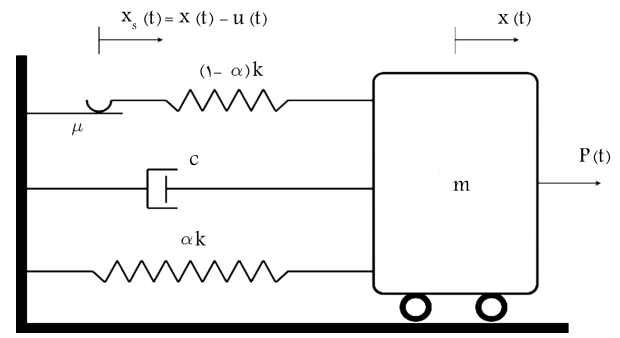
۲. با توجه به اینکه u تغییرشکل فنر متصل به لغزنده است، تا زمانی که سیستم در حالت لغزشی است (یعنی فنر با سختی αk به تغییرشکل بیشینه‌ی خود δ رسیده است)، تغییرشکل در این فنر ثابت باقی خواهد ماند. بنابراین، در امتداد مسیرهای لغزشی EAB و CD، سرعت $\dot{u} = 0$ و در امتداد مسیرهای OA، BC و DE سرعت $\dot{u} = \dot{x}$ است.

۳. در امتداد مسیر BC تغییرشکل فنر $- \delta \leq u$ و در امتداد مسیر DE تغییرشکل فنر $u \leq \delta$ است.

با توجه به بندهای ۱ الی ۳ و استفاده از روابط ۱ الی ۴ در هر مسیر، معادله‌ی ۹ به دست می‌آید:

$$\dot{u} = \dot{x} [\bar{N}(\dot{x}) \bar{M}(u - \delta) + M(\dot{x}) N(u + \delta)] \quad (۹)$$

با فرض شرایط مرزی اولیه‌ی صفر ($x(0) = u(0) = 0$) مربوط به سیستم شکل ۱ و حل هم‌زمان معادلات دیفرانسیل ۶ و ۹ در نرم‌افزار متماتیکا^۷، رفتار چرخه‌یی دو خطی یک سیستم تک درجه آزادی غیرکاهنده تحت اثر بار خارجی مطابق شکل ۳ حاصل می‌شود.



شکل ۱. سیستم مکانیکی تک درجه آزادی.

حلقه‌ی چرخه‌یی دو خطی استفاده شده‌اند، مطابق روابط ۱ الی ۵ هستند:

$$\text{sgn}(x) = \begin{cases} -۱ & \text{if } x < 0 \\ 0 & \text{if } x = 0 \\ ۱ & \text{if } x > 0 \end{cases} \quad (۱)$$

$$N(x) = 0.5 [1 + \text{sgn}(x)] \{ 1 + [1 - \text{sgn}(x)] \} = \begin{cases} ۱ & \text{if } x \geq 0 \\ 0 & \text{if } x < 0 \end{cases} \quad (۲)$$

$$M(x) = 1 - N(x) = \begin{cases} 0 & \text{if } x \geq 0 \\ ۱ & \text{if } x < 0 \end{cases} \quad (۳)$$

$$\bar{N}(x) = M(-x) = \begin{cases} ۱ & \text{if } x > 0 \\ 0 & \text{if } x \leq 0 \end{cases} \quad (۴)$$

$$\bar{M}(x) = N(-x) = \begin{cases} 0 & \text{if } x > 0 \\ ۱ & \text{if } x \leq 0 \end{cases} \quad (۵)$$

که در آن‌ها، $\text{sgn}(x)$ تابع علامت و $N(x)$ تابع پله‌یی واحد هستند و سایر توابع نیز بر حسب آن‌ها تعریف می‌شوند.

مدل دکتور مستقل، مطابق شکل ۱ شامل: جرم m ، میراگر با ضریب میرایی ویسکوز c ، و دو فنر با سختی αk و $(1 - \alpha)k$ بوده است. فنر با سختی αk مستقیماً به جرم متصل بوده و جابه‌جایی متناظر با آن $x(t)$ است. همچنین فنر با سختی $(1 - \alpha)k$ از طریق یک لغزنده با ضریب اصطکاک μ به جرم متصل شده است و تغییرشکل $u(t)$ دارد. در سیستم مذکور، سختی کل سیستم $\alpha \leq 1$ ضریب سختی آن است. نیروی خارجی اعمال شده به جرم از طریق تابع $P(t)$ تعریف می‌شود.

معادله‌ی تعادل دینامیکی حاکم بر سیستم شکل ۱ مطابق رابطه‌ی ۶ است:

$$m\ddot{x} + c\dot{x} + \alpha kx + (1 - \alpha)ku = P(t) \quad (۶)$$

نیروی موجود در لغزنده (نیروی اصطکاک کولمب^۸) از رابطه‌ی ۷ به دست می‌آید:

$$\mu mg = (1 - \alpha)ku \quad (۷)$$

که در آن، $-\delta \leq u \leq \delta$ و δ بیشینه‌ی تغییرشکل فنر متصل به لغزنده است. هنگامی که این فنر به بیشینه‌ی تغییرشکل خود δ برسد، لغزنده شروع به لغزیدن می‌کند و سختی کل سیستم از k به αk کاهش می‌یابد.

و با استفاده از رابطه‌ی ۱۲ تعریف می‌شوند:

$$m = \begin{bmatrix} m_1 & 0 & 0 & \dots & 0 \\ 0 & m_2 & 0 & \dots & 0 \\ 0 & 0 & m_3 & \dots & 0 \\ \vdots & \vdots & \vdots & \ddots & \vdots \\ 0 & 0 & 0 & \dots & m_N \end{bmatrix};$$

$$K = \begin{bmatrix} k_1 + k_2 & -k_2 & 0 & \dots & 0 \\ -k_2 & k_2 + k_3 & -k_3 & \dots & 0 \\ 0 & -k_3 & k_3 + k_4 & \dots & 0 \\ \vdots & \vdots & \vdots & \ddots & \vdots \\ 0 & 0 & 0 & \dots & k_N \end{bmatrix};$$

$$K_s = \begin{bmatrix} k_1 & -k_2 & 0 & \dots & 0 \\ 0 & k_2 & -k_3 & \dots & 0 \\ 0 & 0 & k_3 & \dots & 0 \\ \vdots & \vdots & \vdots & \ddots & -k_N \\ 0 & 0 & 0 & \dots & k_N \end{bmatrix} \quad (12)$$

دکتر مستقل جهت در نظر گرفتن اثرات هم‌زمان کاهش‌دهی شامل باریک‌شدگی، کاهش سختی، و کاهش مقاومت برای یک سیستم چند درجه آزادی، با توجه به شرایط مرزی ذکر شده در بخش قبل و استفاده از تابع انرژی، معادلات نهایی بی‌بُعد را ارائه کرده است. وی جهت بی‌بُعد کردن معادلات مربوط، از مجموعه‌ی روابط ۱۳ استفاده کرده است:

$$x_n = y_n \delta; \quad u_n = z_n \delta; \quad k_n = k \kappa_n; \quad m_n = m \mu_n; \\ \omega = \sqrt{k/m}; \quad \tau = \omega t; \quad \zeta = \frac{c}{2m\omega} \quad (13)$$

رابطه‌ی بی‌بُعد معادله‌ی تعادل دینامیکی سیستم چند درجه آزادی به صورت رابطه‌ی ۱۴ است:

$$m \ddot{y} + 2\zeta \eta \dot{y} + \alpha \kappa y + (1 - \alpha) \kappa_s z = P(\tau) \quad (14)$$

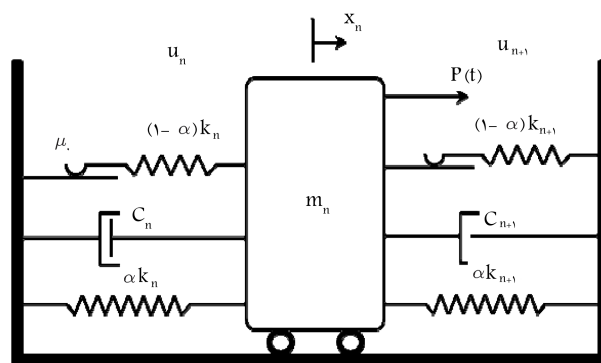
معادله‌ی مربوط به شرایط مرزی برای n امین درجه آزادی یک سیستم چند درجه آزادی به صورت رابطه‌ی ۱۵ است:

$$\dot{z}_n = \Phi_n (\dot{y}_n - \dot{y}_{n-1}) \{ \overline{N} (\dot{y}_n - \dot{y}_{n-1}) [\overline{M} (z_n - \lambda_p \Psi_n) \overline{M} (y_n - y_{n-1}) + \overline{M} (z_n - \Psi_n) \overline{N} (y_n - y_{n-1})] + M (\dot{y}_n - \dot{y}_{n-1}) [N (z_n + \lambda_p \Psi_n) N (y_n - y_{n-1}) + N (z_n + \Psi_n) M (y_n - y_{n-1})] \}, \quad n = 1, 2, \dots, N \quad (15)$$

که در آن، Φ_n و Ψ_n به ترتیب توابع کاهش‌دهی سختی و کاهش‌دهی مقاومت هستند، که به صورت رابطه‌های ۱۶ و ۱۷ تعریف می‌شوند:

$$\Phi_n = \frac{1}{1 + \lambda_k h_n(t)} \quad (16)$$

$$\Psi_n = \frac{1}{1 + \lambda_l h_n(t)} \quad (17)$$



شکل ۴. شکل کلی درجه آزادی n ام یک سیستم مکانیکی چند درجه آزادی دو خطی.

جهت توسعه‌ی معادلات حاکم بر یک سیستم چند درجه‌ی آزادی دو خطی، سیستم مکانیکی شکل ۴ در نظر گرفته شده است. مطابق شکل مذکور، k_n, m_n و c_n به ترتیب جرم، سختی، و میرایی ویسکوز هستند. فنرها با سختی αk_n و αk_{n+1} مستقیماً به جرم متصل و تغییرشکل $(x_n - x_{n-1})$ دارند. همچنین در هر طرف جرم m_n ، دو فنر دیگر به طور متقارن و به صورت موازی، از طریق یک لغزنده با ضریب اصطکاک μ ، به جرم متصل شده‌اند، که سختی‌های $(1 - \alpha)k_n$ و $(1 - \alpha)k_{n+1}$ دارند و به ترتیب تغییرشکل‌های u_n و u_{n+1} برای هر درجه آزادی دارند. $0 \leq \alpha \leq 1$ معرف نسبت سختی پیش‌تسلیمی است. دو حالت $\alpha = 0$ و $\alpha = 1$ به ترتیب بیان‌گر سیستم‌های خطی و سیستم‌های کشسان - خمیری کامل هستند. جابه‌جایی کل جرم متناظر با x_n و جابه‌جایی لغزشی لغزنده n ام نیز برابر $u_n - (x_n - x_{n-1})$ است. $P(t)$ نیروی وارد به جرم m_n بر حسب زمان است.

مطابق شکل ۴، معادله‌ی تعادل جرم n ام به صورت رابطه‌ی ۱۰ بیان می‌شود:

$$m_n \ddot{x}_n - \alpha k_n x_{n-1} + \alpha (k_n + k_{n+1}) x_n - \alpha k_{n+1} x_{n+1} + (1 - \alpha) k_n u_n - (1 - \alpha) k_{n+1} u_{n+1} = P(t), \\ n = 1, 2, \dots, N \quad (10)$$

رابطه‌ی ۱۰ به ازا $n = 1, 2, 3$ به ۳ معادله‌ی مجزا تبدیل می‌شود، که می‌توان این معادلات را به فرم ماتریسی بدین صورت بیان کرد:

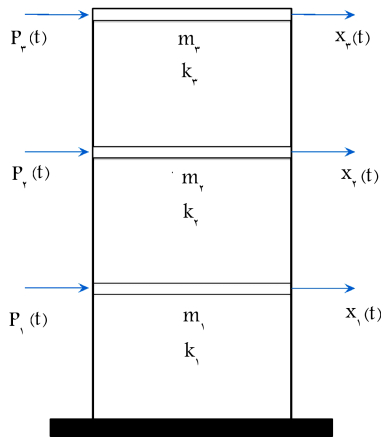
$$\begin{bmatrix} m_1 & 0 & 0 \\ 0 & m_2 & 0 \\ 0 & 0 & m_3 \end{bmatrix} \begin{Bmatrix} \ddot{x}_1 \\ \ddot{x}_2 \\ \ddot{x}_3 \end{Bmatrix} + \alpha \begin{bmatrix} k_1 + k_2 & -k_2 & 0 \\ -k_2 & k_2 + k_3 & -k_3 \\ 0 & -k_3 & k_3 \end{bmatrix} \begin{Bmatrix} x_1 \\ x_2 \\ x_3 \end{Bmatrix} + (1 - \alpha) \begin{bmatrix} k_1 & -k_2 & 0 \\ 0 & k_2 & -k_3 \\ 0 & 0 & k_3 \end{bmatrix} \begin{Bmatrix} u_1 \\ u_2 \\ u_3 \end{Bmatrix} = P(t)$$

بنابراین معادله‌ی تعادل دینامیکی کل سیستم چند درجه آزادی به صورت رابطه‌ی ۱۱ است:

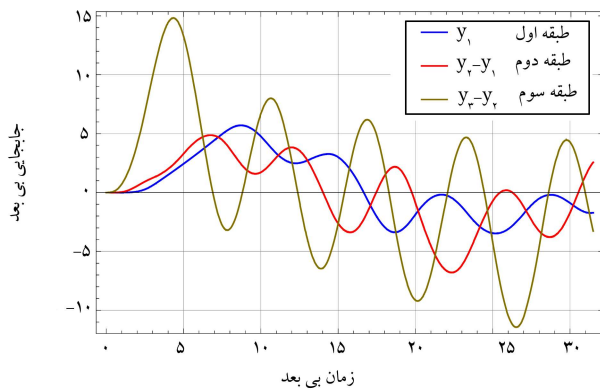
$$m \ddot{x} + c \dot{x} + \alpha K x + (1 - \alpha) K_s u = P(t) \quad (11)$$

که در آن، m, K و K_s به ترتیب ماتریس قطری جرم و ماتریس‌های سختی هستند

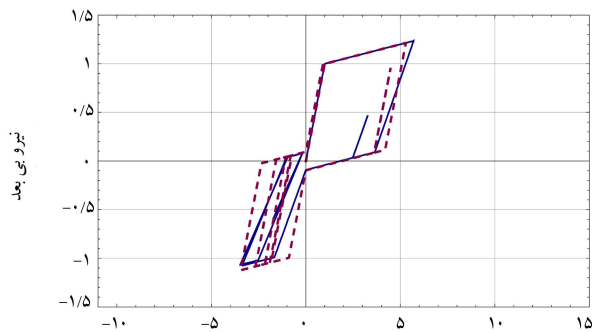
در شکل ۷ الی ۹، نمودار با خط ممتد مربوط به رفتار چرخه‌ی شامل اثرات باریک‌شدگی، کاهش سختی، کاهش مقاومت، و نیز نمودار خط‌چین بیان‌گر رفتار چرخه‌ی تحت اثر باریک‌شدگی است. جهت نشان دادن بهتر تأثیرات کاهش سختی و کاهش مقاومت در رفتار چرخه‌ی هر طبقه، نمودارهای ذکرشده به صورت هم‌زمان رسم شده‌اند. با مقایسه‌ی دو نمودار مذکور مشاهده می‌شود که اثرات کاهش سختی و کاهش مقاومت در رفتار چرخه‌ی کل چرخه‌ی قابل ملاحظه‌ی دارند؛ چرا که با در نظر گرفتن این اثرات، سطح داخل هر چرخه با گذشت زمان دچار کاهش بیشتری می‌شود و این کاهش متناظر با کاهش انرژی کل جذب‌شده توسط سازه است.



شکل ۵. قاب برشی ۳ درجه آزادی.



شکل ۶. پاسخ جابه‌جایی نسبی درون طبقه‌ی تحت اثر بارگذاری هارمونیک.



شکل ۷. پاسخ نیرو - جابه‌جایی طبقه‌ی اول به بارگذاری هارمونیک تحت اثر باریک‌شدگی، کاهش سختی، و کاهش مقاومت.

که در آن‌ها، $\lambda_p \geq 0$ ، $\lambda_k \geq 0$ و $\lambda_l \geq 0$ به ترتیب ضرایب باریک‌شدگی، کاهش سختی، و کاهش مقاومت هستند. همچنین $h(t)$ تابع انرژی کل سیستم چرخه‌ی است، که از رابطه‌ی ۱۸ به دست می‌آید:

$$\begin{aligned} \dot{h}_n = & \Psi_n (1 - \alpha) |\dot{y}_n - \dot{y}_{n-1}| [N(\dot{y}_n - \dot{y}_{n-1})N(y_n - y_{n-1} - \gamma_p) \\ & + \bar{M}(\dot{y}_n - \dot{y}_{n-1})M(y_n - y_{n-1} + \gamma_p) \\ & + \lambda_p \bar{N}(\dot{y}_n - \dot{y}_{n-1})M(y_n - y_{n-1}) \\ & + \lambda_p M(\dot{y}_n - \dot{y}_{n-1})N(y_n - y_{n-1})] \\ & \times |1 - \{\bar{N}(\dot{y}_n - \dot{y}_{n-1})[\bar{M}(z_n - \lambda_p \Psi_n)\bar{M}(y_n - y_{n-1}) \\ & + \bar{M}(z_n - \Psi_n)\bar{N}(y_n - y_{n-1})] \\ & + M(\dot{y}_n - \dot{y}_{n-1})[N(z_n + \lambda_p \Psi_n)N(y_n - y_{n-1}) \\ & + N(z_n + \Psi_n)M(y_n - y_{n-1})]\} |, \quad n = 1, 2, \dots, N \end{aligned} \quad (18)$$

معادلات ۱۴، ۱۵ و ۱۸ به همراه شرایط اولیه، به طور کامل پاسخ یک سیستم چند درجه آزادی دو خطی شامل اثرات کاهش سختی، باریک‌شدگی، کاهش سختی، و کاهش مقاومت را بیان می‌کنند. معادلات حاکم برای موارد خاص را می‌توان با استفاده از معادلات ذکرشده و با انتخاب مناسب λ_l ، λ_k ، λ_p ، α به دست آورد. مثال ۱، که بر مبنای مثال موجود در نوشتار دکتر مستقل^[۱۲] حل شده است، اثرات هم‌زمان عوامل کاهش سختی و رفتار چرخه‌ی یک سیستم سه درجه آزادی دو خطی تحت اثر یک بار فرضی و نیز صحت مدل‌سازی انجام‌شده در این نوشتار با مرجع اصلی را به درستی نشان می‌دهد.

مثال ۱. یک قاب برشی ۳ طبقه با جرم و سختی یکسان و میرایی ویسکوز صفر برای تمامی طبقات مطابق شکل ۵ در نظر گرفته شده است. ماتریس‌های بی بعد متناظر با جرم و سختی طبقات بدین صورت به دست می‌آیند:

$$\mu = \begin{bmatrix} 1 & 0 & 0 \\ 0 & 1 & 0 \\ 0 & 0 & 1 \end{bmatrix}; \quad \kappa = \begin{bmatrix} 2 & -1 & 0 \\ -1 & 2 & -1 \\ 0 & -1 & 1 \end{bmatrix};$$

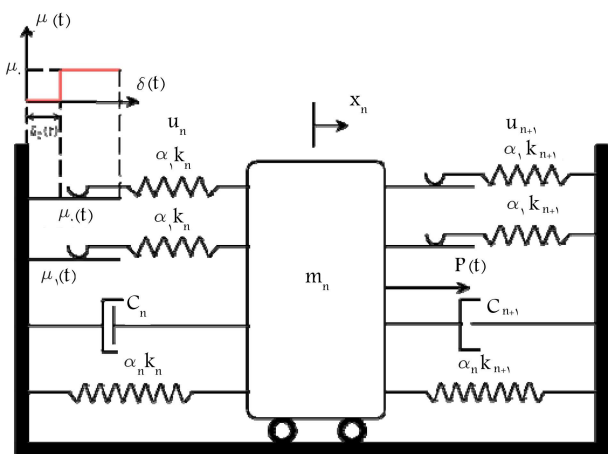
$$\kappa_s = \begin{bmatrix} 1 & -1 & 0 \\ 0 & 1 & -1 \\ 0 & 0 & 1 \end{bmatrix}$$

به طوری که $k = k_1 = k_2 = k_3$ و $m = m_1 = m_2 = m_3$.

چنانچه نسبت سختی $\alpha = 0.5$ ، نسبت مقاومت $\lambda_p = 0.1$ ، ضرایب کاهش سختی $\lambda_k = 0.2$ ، و کاهش سختی $\lambda_l = 0.1$ باشند و فرض شود که قاب در بالاترین طبقه تحت اثر بار هارمونیک $P(\tau) = 5 \sin(\beta\tau)$ باشد، ماتریس بارگذاری بدین صورت قابل بیان خواهد بود:

$$P(\tau) = \begin{bmatrix} 0 & 0 & 0 \\ 0 & 0 & 0 \\ 0 & 0 & 5 \end{bmatrix} \begin{Bmatrix} 0 \\ 0 \\ \sin \beta\tau \end{Bmatrix}$$

با فرض شرایط اولیه‌ی سکون $y(0) = \dot{y}(0) = z(0) = h(0) = 0$ و $\beta = 1$ ، جابه‌جایی نسبی درون طبقه‌ی و پاسخ‌های نیرو - جابه‌جایی برای ۵ سیکل اول بارگذاری و برای هر طبقه مطابق شکل ۶ الی ۹ نشان داده شده است.



شکل ۱۰. سیستم مکانیکی جرم و فنر درجه‌ی n م یک سازه‌ی چند درجه آزادی چند خطی.

آزادی n م اعمال می‌شود. این تذکر لازم است که مجموع سختی تمامی فنرهای متصل به جرم معادل k است؛ لذا مجموع α_i ها برابر ۱ می‌شود. $0 \leq \alpha \leq 1$ معرف نسبت سختی پیش‌تسلیمی بوده و جابه‌جایی کل جرم نیز متناظر با x_n است. با توجه به شکل ۱۰ می‌توان معادله‌ی تعادل دینامیکی جرم n م را به صورت ماتریسی (رابطه‌ی ۱۹) بیان کرد:

$$M \ddot{x} + C \dot{x} + \alpha_n K x + \sum_{i=1}^{n-1} \alpha_i K_s u_i = P(t) \quad (19)$$

که در آن، M ، K و K_s به ترتیب ماتریس قطری جرم و ماتریس‌های سختی هستند که در بخش ۲ معرفی شده‌اند.

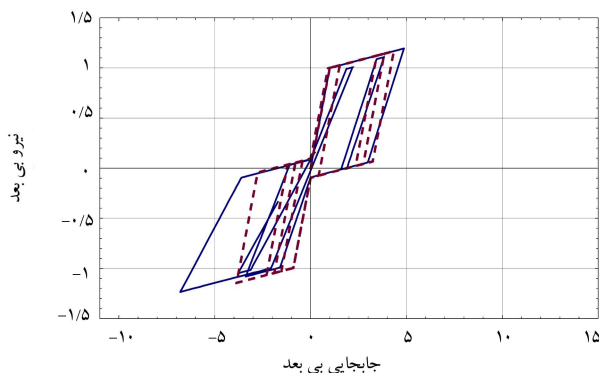
جزء سوم رابطه‌ی ۱۹ مربوط به فنرهایی است که مستقیماً به جرم متصل هستند و جزء چهارم آن نیز مربوط به فنرهایی است که به لغزنده متصل هستند. بردار نیروی مقاوم سیستم به صورت رابطه‌ی ۲۰ است:

$$f = \alpha_n K x + \sum_{i=1}^{n-1} \alpha_i K_s u_i \quad (20)$$

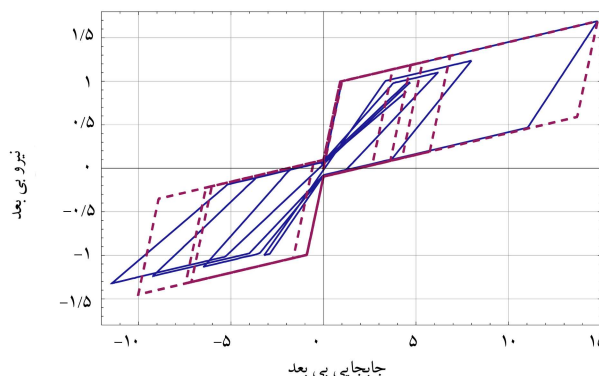
به منظور در نظر گرفتن پدیده‌های کاهندگی، با استفاده از توابع پایه‌ی ۱ الی ۴ باید معادله‌ی ارائه شده که شرایط مرزی حلقه‌های چرخه‌ی مشابه با شرایط مرزی ذکر شده در بخش ۲ را ارضا کند. با در نظر گرفتن شرایط مذکور، معادله‌ی نهایی ۲۱ حاصل شده است:

$$\begin{aligned} \dot{z}_n = & \Phi_n (\dot{y}_n - \dot{y}_{n-1}) \{ N (\dot{y}_n - \dot{y}_{n-1}) [M (z_n - \lambda_p \Psi_n) \\ & \overline{M} (y_n - y_{n-1} - \delta_0) + M (z_n - \Psi_n) \overline{N} (y_n - y_{n-1} - \delta_0) \\ & + M (\dot{y}_n - \dot{y}_{n-1}) [\overline{N} (z_n + \lambda_p \Psi_n) N (y_n - y_{n-1} - \delta_0) \\ & + \overline{N} (z_n + \Psi_n) M (y_n - y_{n-1} - \delta_0) \overline{M} (y_n - y_{n-1} + \delta_0)] \} \end{aligned} \quad (21)$$

که در آن، Φ_n و Ψ_n به ترتیب توابع کاهندگی سختی و کاهندگی مقاومت درجه n م هستند، که از رابطه‌های ۱۶ و ۱۷ بدست می‌آیند. که در آن‌ها، $\lambda_k \geq 0$ و $\lambda_k \geq 0$ به ترتیب ضرایب کاهش سختی و کاهش مقاومت هستند. $h(t)$ تابع انرژی کل سیستم چرخه‌ی \dot{h} نرخ تغییرات انرژی کل نسبت به زمان است که از رابطه‌ی



شکل ۸. پاسخ نیرو - جابه‌جایی طبقه‌ی دوم به بارگذاری هارمونیک تحت اثر باریک‌شدگی، کاهش سختی، و کاهش مقاومت.

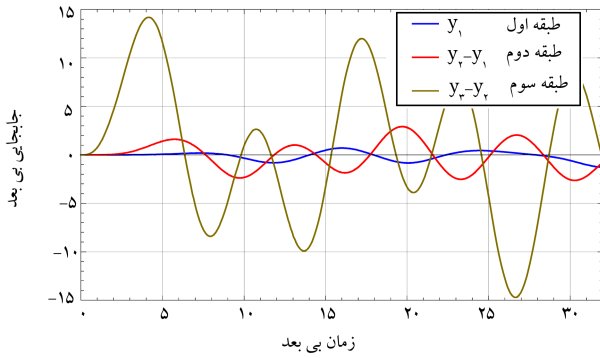


شکل ۹. پاسخ نیرو - جابه‌جایی طبقه‌ی سوم به بارگذاری هارمونیک تحت اثر باریک‌شدگی، کاهش سختی، و کاهش مقاومت.

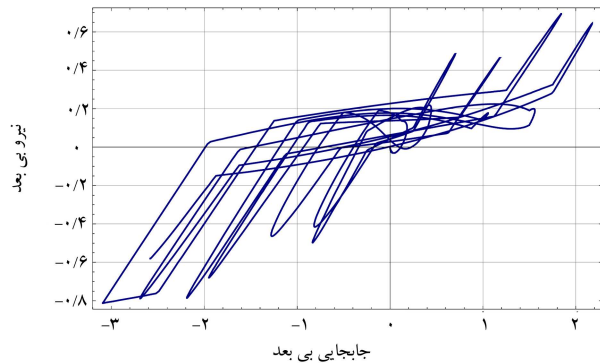
۳. توسعه‌ی مدل چند درجه آزادی دکتر مستقل با در نظر گرفتن اثر لغزش

زینلیان و همکاران (۲۰۱۲)^[۱۱] با بررسی مدل دو خطی دکتر مستقل به این نتیجه رسیده‌اند که معادلات مطرح‌شده‌ی دکتر مستقل، برخی شرایط مرزی مربوط به حلقه‌ی اولیه چرخه را ارضا نمی‌کند؛ لذا یک اصلاح اساسی در مدل ایشان اعمال کرده و مدل دو خطی اصلاح‌شده‌ی دکتر مستقل را با در نظر گرفتن اثر لغزش توسعه داده‌اند. پدیده‌ی لغزش به طور متداول در عملکرد چرخه‌ی بسیاری از سازه‌ها از جمله سازه‌های سرد نوردشده‌ی فولادی قابل مشاهده است. این عامل به واسطه‌ی تغییرشکل‌های خمیری اجزاء سازه از قبیل اتصالات و مهاربندهای جانبی به وجود می‌آید. لغزش معمولاً پس از چرخه‌های اولیه ظاهر و به تدریج و با افزایش جابه‌جایی جانبی قاب افزایش می‌یابد.

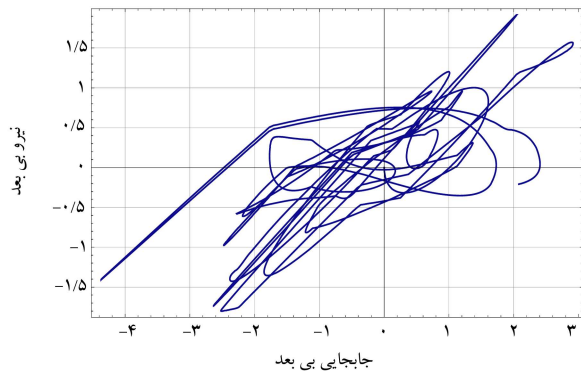
جهت در نظر گرفتن رفتار چرخه‌ی چند خطی سازه‌های چند درجه آزادی، سیستم مکانیکی درجه آزادی n م مطابق شکل ۱۰ معرفی شده است، که طبق آن m_n و k_n به ترتیب جرم، سختی، و میرایی و اسکوز هستند. فنرها با سختی $\alpha_n k_{n+1}$ و $\alpha_n k_n$ مستقیماً به جرم متصل و دارای تغییرشکل $(x_n - x_{n-1})$ هستند. همچنین در هر طرف جرم m_n تعداد $(n-1)$ فنر به طور متقارن و به صورت موازی از طریق یک لغزنده با ضریب اصطکاک متغیر $\mu(t)$ به جرم متصل شده‌اند، که به ترتیب دارای سختی‌های $\alpha_i k_{n+1}$ و $\alpha_i k_n$ و تغییرشکل‌های u_{n+1} و u_n برای هر درجه آزادی هستند. $P(t)$ نیروی خارجی متغیر با زمان است که به درجه



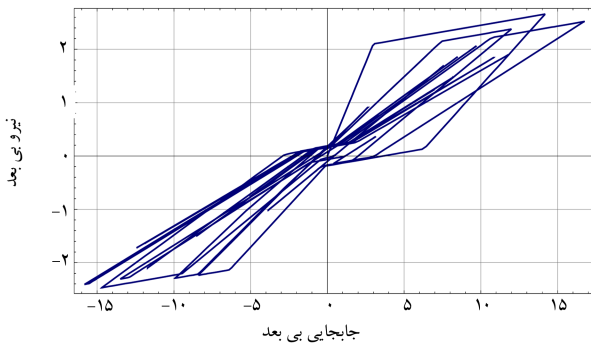
شکل ۱۱. پاسخ جابه‌جایی نسبی درون‌طبقه‌یی تحت اثر بارگذاری هارمونیک.



شکل ۱۲. پاسخ نیرو - جابه‌جایی طبقه‌ی اول به بارگذاری هارمونیک تحت اثر باریک‌شدگی، کاهش سختی، کاهش مقاومت، و لغزش.



شکل ۱۳. پاسخ نیرو - جابه‌جایی طبقه‌ی دوم به بارگذاری هارمونیک تحت اثر باریک‌شدگی، کاهش سختی، کاهش مقاومت، و لغزش.



شکل ۱۴. پاسخ نیرو - جابه‌جایی طبقه‌ی سوم به بارگذاری هارمونیک تحت اثر باریک‌شدگی، کاهش سختی، کاهش مقاومت، و لغزش.

۲۲ و γ_p در آن، از رابطه‌ی ۲۳ به‌دست می‌آیند:

$$\begin{aligned} \dot{h}_n = & \Psi_n \alpha_i |\dot{y}_n - \dot{y}_{n-1}| [N(\dot{y}_n - \dot{y}_{n-1})N(y_n - y_{n-1} - \gamma_p) \\ & + \bar{M}(\dot{y}_n - \dot{y}_{n-1})M(y_n - y_{n-1} + \gamma_p) \\ & + \lambda_p \bar{N}(\dot{y}_n - \dot{y}_{n-1})M(y_n - y_{n-1}) \\ & + \lambda_p M(\dot{y}_n - \dot{y}_{n-1})N(y_n - y_{n-1})] \\ & \times |1 - \{N(\dot{y}_n - \dot{y}_{n-1})[M(z_n - \lambda_p \Psi_n)\bar{M}(y_n - y_{n-1} - \delta_0) \\ & + M(z_n - \Psi_n)\bar{N}(y_n - y_{n-1} - \delta_0)] \\ & + M(\dot{y}_n - \dot{y}_{n-1})[\bar{N}(z_n + \lambda_p \Psi_n)N(y_n - y_{n-1} - \delta_0) \\ & + \bar{N}(z_n + \Psi_n)M(y_n - y_{n-1} - \delta_0)\bar{M}(y_n - y_{n-1} + \delta_0)]| \end{aligned} \quad (22)$$

$$\gamma_p = \frac{\delta_p}{\delta} = (1 - \lambda_p) \quad (23)$$

با حل هم‌زمان معادلات ۲۱، ۱۹ و ۲۴ در نرم‌افزار متتیکا، و انتخاب شرایط اولیه‌ی مناسب، پاسخ یک سیستم چند درجه آزادی - چند خطی شامل تمامی عوامل کاهندگی حاصل می‌شود؛ که در ادامه با ذکر یک مثال دیگر این موضوع مورد بررسی قرار گرفته است.

مثال ۲. قاب برشی ۳ طبقه‌ی مثال ۱ با فرض رفتار چهار خطی و در نظر گرفتن اثر لغزش، به صورت مشخصات ارائه‌شده فرض شده است:

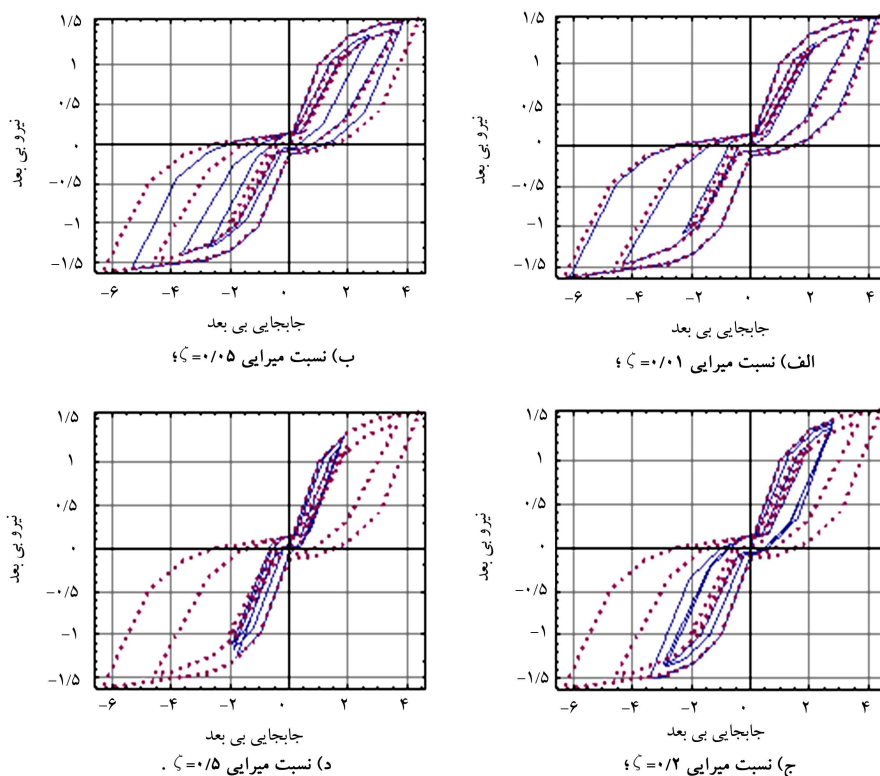
$$\begin{aligned} \xi &= 0, \quad \alpha_1 = 0.65, \quad \alpha_2 = 0.2, \quad \alpha_3 = 0.1, \\ \alpha_4 &= 0.05, \quad \gamma_1 = 1, \quad \gamma_2 = 2, \quad \gamma_3 = 3, \\ \lambda_p &\equiv \lambda_{pi} = 0.1, \quad \lambda_k \equiv \lambda_{ki} = 0.1, \quad \lambda_l \equiv \lambda_{li} = 0.01, \\ & i = 1, 2, \dots, n-1 \end{aligned}$$

$$\mu = \begin{bmatrix} 1 & 0 & 0 \\ 0 & 1 & 0 \\ 0 & 0 & 1 \end{bmatrix}; \quad \kappa = \begin{bmatrix} 2 & -1 & 0 \\ -1 & 2 & -1 \\ 0 & -1 & 1 \end{bmatrix};$$

$$\kappa_s = \begin{bmatrix} 1 & -1 & 0 \\ 0 & 1 & -1 \\ 0 & 0 & 1 \end{bmatrix}$$

$$\delta_s(\tau) = 0.125 \text{ Floor} \left[\frac{\tau}{2\pi} \right]$$

شکل ۱۱ نشان دهنده جابه‌جایی نسبی طبقات تحت بارگذاری هارمونیک است و شکل‌های ۱۲ الی ۱۴ نمایان‌گر رفتار چرخه‌یی یک سیستم سه درجه آزادی چهار خطی با در نظر گرفتن تمامی اثرات کاهندگی هستند. مطابق شکل‌های ۱۲ و ۱۳، رفتار چرخه‌یی حاصل برای طبقات اول و دوم، نظم مناسبی ندارند و حلقه‌های چرخه‌یی در مدت بارگذاری هارمونیک مسیره‌های بارگذاری و باربرداری مشخصی را طی نمی‌کنند. پاسخ چرخه‌یی طبقه‌ی سوم (شکل ۱۴)، نیز علی‌رغم فرض چهار خطی بودن سیستم ذکر شده در مثال ۲، رفتاری نزدیک به دو خطی از خود نشان می‌دهد، به این دلیل که در معادلات توسعه داده‌شده (معادلات ۱۹ تا ۲۵) برای تعیین رفتار چرخه‌یی، پارامترهای مختلفی شامل: جرم، سختی، ضریب میرایی، انرژی مستهلک‌شده، و بار خارجی وارد به سازه نقش مؤثری را ایفا می‌کنند. بنابراین حرکت چرخه‌یی سازه‌ها لزوماً، حرکت منظم و یکنواختی ندارد.



شکل ۱۵. رفتار چرخه‌یی یک سیستم تک درجه آزادی چهار خطی تحت اثر تمامی اثرات کاهندگی.

۴. بررسی اثر میرایی ویسکوز در رفتار چرخه‌یی

مطابق با شکل ۱، جهت اعمال اثر میرایی در عملکرد رفتار چرخه‌یی، از یک میراگر با ضریب میرایی c استفاده شده است. با در نظر گرفتن میرایی ویسکوز و با نوشتن معادله‌ی دیفرانسیل حاکم بر پاسخ سیستم مکانیکی شکل ۱، اثر میرایی به صورت عبارت $c\dot{x}$ در معادله‌ی ۶ ظاهر می‌شود. میرایی به عنوان یک عامل مستهلک‌کننده‌ی انرژی می‌تواند برای نسبت‌های با میرایی بالا، اثر قابل ملاحظه‌یی در رفتار چرخه‌یی و ارزیابی لرزه‌یی یک سیستم سازه‌یی داشته باشد.

مثال ۳. جهت بررسی اثر میرایی در رفتار چرخه‌یی، از یک سیستم تک درجه آزادی چهار خطی تحت اثر نیروی هارمونیک $P(\tau) = 2 \sin(\beta\tau)$ در مدت زمان $\tau = 22$ ثانیه، با مشخصات:

$$\alpha_1 = 0.65, \quad \alpha_2 = 0.2, \quad \alpha_3 = 0.1, \quad \alpha_4 = 0.05, \quad \gamma_1 = 1,$$

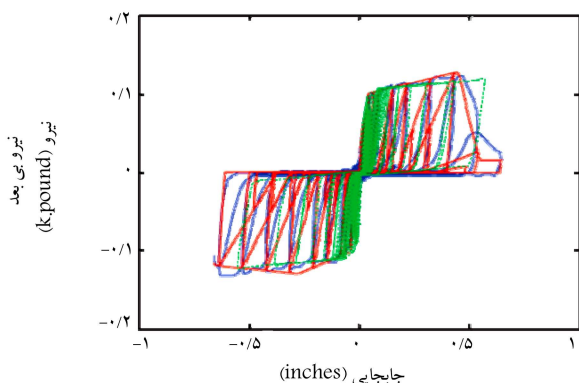
$$\gamma_2 = 2, \quad \gamma_3 = 3, \quad \Delta_0 = 0.2, \quad \lambda_p \equiv \lambda_{pi} = 0.1,$$

$$\lambda_k \equiv \lambda_{ki} = 0.1, \quad \lambda_i \equiv \lambda_{ii} = 0.02, \quad i = 1, 2, 3,$$

$$\delta_0(\tau) = 0.2 \times \left[\frac{\tau}{2\pi} \right]$$

و برای نسبت‌های میرایی مختلف $\zeta = 0.01, \zeta = 0.05, \zeta = 0.12, \zeta = 0.15$ و استفاده و نتایج به صورت شکل ۱۵ حاصل شده است (نمودارهای نقطه‌چین و ممتد به ترتیب نشان‌دهنده‌ی رفتار چرخه‌یی کاهنده بدون میرایی و رفتار چرخه‌یی با میرایی است).

همان‌طور که در شکل ۱۵ مشاهده می‌شود، با افزایش نسبت میرایی از میزان انرژی مستهلک‌شده کاسته شده و سطح داخلی حلقه‌های چرخه‌یی کاهش یافته است. هر چند این میزان کاهش برای سیستم‌های با میرایی اندک (شکل ۱۵ الف)



شکل ۱۶. مقایسه‌ی بین داده‌های تحلیلی، داده‌های آزمایشگاهی مربوط به پاسخ برشی بست‌های اتصال یک قاب سرد نوردشده‌ی فولادی و مدل Pinching ۴ متناظر با آن [۱۷].

بسیار ناچیز است و می‌توان اثر میرایی را نادیده گرفت، اما چنانچه نسبت میرایی مطابق شکل‌های ۱۵ ج و ۱۵ د قابل ملاحظه باشد، باید اثر آن در رفتار چرخه‌یی سازه در نظر گرفته شود. در این پژوهش نسبت میرایی اندک فرض شده است.

خاطر نشان می‌سازد مدل توسعه داده شده در این نوشتار، برای بارگذاری‌های مختلف قابل بررسی و حل است. به عنوان نمونه و از آنجا که معمولاً آزمایش‌های بررسی رفتار لرزه‌یی قاب‌های سازه‌یی براساس استانداردهای بارگذاری مختلف، تحت بارگذاری چرخه‌یی خطی تغییرمکان کنترل صورت می‌گیرد، به منظور بررسی تطبیق نتایج تحلیلی با نتایج آزمایشگاهی، مدل اصلاح‌شده‌ی دکتر مستقل براساس بارگذاری تغییرمکان کنترل اصلاح و اثر بار هارمونیک از مدل حذف شده است. شکل ۱۶، رفتار چرخه‌یی یک سازه‌ی سرد نوردشده‌ی فولادی را نشان می‌دهد [۱۷].

پی خواهد داشت؛ به طوری که این امر می تواند موجب خرابی های زیادی در سازه به هنگام زلزله شود.

اهمیت ارائه مدل های تحلیلی از این رو است که انجام تجزیه و تحلیل های مربوط به سازه های بزرگ چند درجه آزادی به خصوص برای سازه های با درجات آزادی بالاتر، بعضاً پیچیده و زمان بر است؛ لذا این گونه سازه ها را می توان با یک سازه تک درجه آزادی معادل شبیه سازی کرد و تحلیل های مورد نظر را بر روی آن انجام داد. مدل چند درجه آزادی اصلاح شده مستقل این ویژگی و قابلیت را دارد که به جای تجزیه و تحلیل کل سازه چند درجه آزادی، تک تک درجات آزادی را مورد تحلیل قرار دهد و این امر سبب کاهش حجم محاسبات و کاهش مدت زمان تجزیه و تحلیل خواهد شد. در این نوشتار به منظور بررسی کارایی مدل نهایی ارائه شده، مثال های متعددی ارائه شده است.

بی نظمی مشاهده شده در رفتار چرخه ای سیستم های چند درجه آزادی چند خطی تحت اثر بارهای هارمونیک لزوم استفاده از بارگذاری به روش تغییرمکان - کنترل به جای نیرو - کنترل برای تطبیق بهتر نتایج تحلیلی با نتایج آزمایشگاهی را نشان می دهد. لذا لازم است تا جهت مقایسه نتایج تحلیلی با نتایج آزمایشگاهی اثر تغییرمکان - کنترل در مدل های تحلیلی لحاظ شود.

در شکل مذکور، نمودار آبی، قرمز و سبز رنگ به ترتیب مربوط به نتایج آزمایشگاهی $Pinching_4$ و نتایج تحلیلی هستند. رژیم بارگذاری چرخه ای اعمال شده به مدل براساس استاندارد ASTM E 2126-07^[۱۸] است. همان طور که ملاحظه می شود نتایج تحلیلی (مدل سبزرنگ) تطبیق مناسب تری نسبت به مدل $Pinching_4$ به ویژه تا قبل از گسیختگی دارند. در واقع مدل تحلیلی پارامترهای کمتری نسبت به مدل $Pinching_4$ دارد و این امر سبب سهولت و کاهش مدت زمان تحلیل سازه می شود.

۵. نتیجه گیری

عوامل کاهندگی باریک شدگی، کاهش سختی، کاهش مقاومت، و لغزش اثر قابل ملاحظه ای در میزان جذب و اتلاف انرژی چرخه ای نسبت به سیستم بدون کاهندگی دارند. همان طور که ملاحظه شده است، عدم در نظر گرفتن هر یک از اثرات کاهندگی می تواند منجر به نادیده گرفتن بخش زیادی از انرژی کل سازه شود و به دنبال آن تخمین های غیر محافظه کارانه ای در زمینه های ایمنی، پایداری، و اقتصادی سازه در

پانویس ها

1. Bouc
2. Wen
3. Ozdemir
4. Ramberg
5. Osgood
6. Coulomb
7. Mathematica software

منابع (References)

1. Mostaghel, N. "Analytical description of pinching, degrading hysteretic systems", *Journal of Engineering Mechanics*, **125**(2), pp. 216-224 (1999).
2. Ibarra, L.F., Medina, R.A. and Krawinkler, H. "Hysteretic models that incorporate strength and stiffness deterioration", *Earthquake Engineering & Structural Dynamics*, **34**(12), pp. 1489-1511 (2005).
3. Ramberg, W. and Osgood, W.R., *Description of Stress-Strain Curves by Three Parameters*, National Advisory Committee for Aeronautics, Technical Note No. 902 (1943).
4. Jacobsen, L.S., *Frictional Effects in Composite Structures Subjected to Earthquake Vibrations: A Report of an Investigation* State of California Department of Public Works, Division of Architecture (1959).
5. Clough, R.W., *Effect of Stiffness Degradation on Earthquake Ductility Requirements*, University of California, Department of Civil Engineering (1966).
6. Iwan, W. "The response of simple stiffness degrading structures", *In Proc. of the 6th World Conf. on Earthquake Engrg.*, New Delhi, India, pp. 1094-1099 (1977).
7. Iwan, W. "A model for the dynamic analysis of deteriorating structures", *Proc. Fifth World Conference on Earthquake Engineering*, Rome, Italy, pp. 1782-1791 (1973).
8. Iwan, W. "Estimating inelastic response spectra from elastic spectra", *Earthquake Engineering & Structural Dynamics*, **8**(4), pp. 375-388 (1980).
9. Chopra, A.K. and Chintanapakdee, C. "Inelastic deformation ratios for design and evaluation of structures: Single-degree-of-freedom bilinear systems", *Journal of Structural Engineering*, **130**(9), pp. 1309-1319 (2004).
10. Gupta, B. and Kunnath, S. "Effect of hysteretic model parameters on inelastic seismic demands", *In Proceedings of the 6th US National Conference on Earthquake Engineering*, pp. 1-12 (1998).
11. Gupta, A. and Krawinkler, H., *Seismic Demands for the Performance Evaluation of Steel Moment Resisting Frame Structures*, John A. Blume Earthquake Engineering Center, Stanford University, 368 pages (1998).
12. Mostaghel, N. and Byrd, R.A. "Analytical description of multidegree bilinear hysteretic system", *Journal of Engineering Mechanics*, **126**(6), pp. 588-598 (2000).
13. Medina, R. and Krawinkler, H. "Influence of hysteretic behavior on the nonlinear response of frame structures", *In Proceedings of the 13th World Conference on Earthquake Engineering*, Paper No. 239 (2004).
14. Sivaselvan, M.V. and Reinhorn, A.M. "Hysteretic models for deteriorating inelastic structures", *Journal of Engineering Mechanics*, **126**(6), pp. 633-640 (2000).

15. Ruiz-Garcia, J. and Miranda, E. "Residual displacement ratios for assessment of existing structures", *Earthquake Engineering & Structural Dynamics*, **35**(3), pp. 315-336 (2006).
16. Zeynalian, M., Ronagh, H. and Dux, P. "Analytical description of pinching, degrading, and sliding in a bilinear hysteretic system", *Journal of Engineering Mechanics*, **138**(11), pp. 1381-1387 (2012).
17. Moghimi, H. and Ronagh, H.R. "Performance of light-gauge cold-formed steel strap-braced stud walls subjected to cyclic loading", *Eng. Struct.*, **31**(1), pp. 69-83 (2009).
18. ASTM-E2126-07, Standard Test Methods for Cyclic (Reversed) Load Test for Shear Resistance of Walls for Buildings, USA, p. 13 (2007).